

การศึกษา เครื่องฉบับแหงควยแสงอาทิตย์



นางปีระรัตน์ พราหมณี

001741

วิทยานิพนธ์นี้ เป็นส่วนหนึ่งของการศึกษาความหลักสูตรปริญญาวิทยาศาสตรมหาบัณฑิต

ภาควิชาฟิสิกส์

มังคลาภิเษก จุฬาลงกรณ์มหาวิทยาลัย

พ.ศ. 2523

๑๘๖๒๑๘๕

A STUDY OF SOLAR DRYERS

Mrs. Piyarat Bharmanee

A Thesis Submitted in Partial Fulfillment of the Requirements

for the Degree of Master of Science

Department of Physics

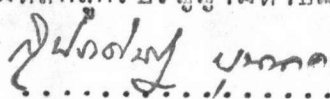
Graduate School

Chulalongkorn University

1980

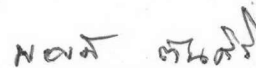
หัวขอวิทยานิพนธ์	การศึกษา เกี่ยวกับแห่งความแสงอาทิตย์
โดย	นางปิยะรัตน์ ปราหมณี
ภาควิชา	ฟิสิกส์
อาจารย์ที่ปรึกษา	ผู้ช่วยศาสตราจารย์ ดร.วิจิตร เสิงสะพันธุ์

บันทึกวิทยาลัย จุฬาลงกรณ์มหาวิทยาลัย อนุมัติให้มีวิทยานิพนธ์ฉบับนี้เป็น ส่วนหนึ่งของการศึกษาความหลักสูตรปริญญามหาบัณฑิต

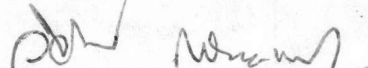
 คำบันทึกวิทยาลัย
 (รองศาสตราจารย์ ดร.สุประดิษฐ์ บุนนาค)

คณะกรรมการสอบวิทยานิพนธ์

 ประธานกรรมการ
 (ผู้ช่วยศาสตราจารย์ ดร.พิทูร ทรีวิจิตร เกษม)

 กรรมการ
 (ผู้ช่วยศาสตราจารย์ พยอง ศันศิริ)

 กรรมการ
 (อาจารย์ วิรพันท์ รัตนธรรมพันธ์)

 กรรมการ
 (ผู้ช่วยศาสตราจารย์ ดร.วิจิตร เสิงสะพันธุ์)

ลิขสิทธิ์ของบันทึกวิทยาลัย จุฬาลงกรณ์มหาวิทยาลัย

หัวข้อวิทยานิพนธ์

การศึกษา เครื่องอบแห้งควายแสงอาทิตย์

ชื่อนิสิต

นางปิยะรัตน์ พราหมณี

อาจารย์ที่ปรึกษา

ผู้ช่วยศาสตราจารย์ ดร. วิจิตร เสิงสะพันธุ์

ภาควิชา

ฟิสิกส์

ปีการศึกษา

2522



บทคัดย่อ

ในงานวิจัยนี้ ได้สร้าง เครื่องอบแห้งแสงอาทิตย์ ๓ แบบ ซึ่งทำเป็นตัวไม้ อัดห้อง ๓ แบบ และทดสอบการใช้แสงอาทิตย์ เครื่องอบแห้งแบบที่ ๑ ทำเป็นตัวไม้ เหลี่ยม โดยมีส่วนรับแสงและส่วนที่ใช้อบอยู่ด้วยกัน ด้านบนของแผ่นรับแสงปิดด้วย กระดาษชนิดเดียว ผ่านด้านล่าง เจ้า เป็นช่องให้อากาศจากภายนอกเข้า เครื่องอบ และมีช่องระบายอากาศชั้นนอกที่ผ่านด้านบน เครื่องอบนี้วาง เอียงประมาณ ๑๕ องศา หันหน้าไปทางทิศใต้ การอบกลวยในเครื่องอบแห้งแบบที่ ๑ ได้ผลลัพธ์การแห้งของ กลวยไม้เร็วกว่าการตากธรรมดานอก เครื่องอบมากนัก จึงเปลี่ยนแปลงให้เป็นเครื่อง อบแห้งแบบที่ ๒ โดยใช้ตัวจากแบบที่ ๑ เป็นส่วนรับแสง และต่อเติมส่วนที่ใช้อบเข้าที่ ด้านหลังของส่วนรับแสง ผ่านช่องส่วนที่ใช้อบบุคคล ใหม่ เพื่อลดการสูญเสียความร้อน การแห้งของกลวยในเครื่องอบแห้งแบบที่ ๒ ถ้าในผลไม้ก็จะลดลง การตากธรรมดานอก เครื่องอบมากนัก จึงได้สร้าง เครื่องอบแห้งแบบที่ ๓ เพื่อแก้ไขข้อบกพร่องดัง ที่ ให้ได้ผลลัพธ์ดีขึ้น โดยทำเป็น ๒ ส่วนคือ ส่วนรับแสงและส่วนที่ใช้อบอยู่ติดต่อกัน ผ่าน ด้านข้างและพื้นด้านของห้อง ๒ ส่วนบุคคล ใหม่ ส่วนรับแสงปิดด้วยกระดาษ ๒ ชั้นและ ทำให้อากาศที่จะเข้าสู่ เครื่องอบจะถูกดึงผ่านระหว่างกระดาษ ๒ ชั้นนี้ก่อน และเจริญว่า ไปผ่านแผ่นรับแสง เป็นการอุ่นอากาศให้ร้อนขึ้นทันที ก่อนที่จะถึงแผ่นรับแสง วิธีนี้ ทำให้อากาศที่จะไปเข้าส่วนที่ใช้อบสูงขึ้นกว่าที่จะให้ผ่านแผ่นรับแสงอย่างเดียว (ถ้า เช่นแบบที่ ๒) ผลการทดสอบของกลวยปرمิยาด ๑ กันเทียบกับการตากธรรมดานอก เครื่องอบ ในเครื่องอบแห้งได้เร็วกว่าโดยประมาณ ๑๐ วินาที ลดร้อน ๖๘% เมื่อของพื้นที่แผ่นรับแสงซึ่งยังสามารถอบในแห้ง เป็นกลวยตากได้ในเวลา

๗

2 วันครึ่ง ในการ เปรีบน เทบบ อคราการ แหง ของ กลวย ใน เครื่องอบแหง แบบที่ 3 เมื่อ
มี น้ำหนัก กลวย คง ๆ กัน กระห่า โดย การ ซั่ง น้ำหนัก เพื่อนำ อคราการ แหง ของ แต่ละวัน
และ พยายาม เปรีบน เทบบ กับ การ แหง ทุก วัน

Thesis Title A Study of Solar Dryers
Name Mrs. Piyarat Bharmanee
Thesis Advisor Assistant Professor Wijit Senghaphan, Ph.D.
Department Physics
Academic Year 1979

Abstract

Three types of small-scale solar dryers were constructed principally from plywood and tested. The first type was a rectangular box covered with a single-glass plate, and included both the light collecting area and drying area. The box was tilted about 14° to the south and ports were open on lower and higher sides of the box to allow moist air to flow out and fresh air to flow in. Test results of drying bananas in this dryer showed that drying was not much better than drying in the open. The dryer was then modified to the second type by attaching drying chamber using the same box but as an air heater only. The walls of the drying chamber were insulated with foam sheets to reduce the heat loss. Test results of drying bananas in this second type were found to be not much better than drying in the open. Finally the third type of solar dryer with separated air heater was constructed. The floor and the walls of the dryer were insulated with foam sheets sandwiched between plywood sheets. The collector plate was covered with two layers of glass separated by an air gap. Fresh air was preheated as it entered the gap between glass plates before passing the collector plate, and

the air in the collector of the third type was hotter than the second type. Test results of drying bananas showed that drying in the third type dryer was faster than drying under the open sun. The optimum of loading was found to be 10 kilograms per square meter of collector plate, and with such load fresh bananas became dried bananas in 2.5 days. Comparison of drying rates of bananas in the third type dryer at various loads was done by weighing to determine drying rate on each day. The theoretical drying rate was also discussed and compared with the actual drying rates of bananas.



กิจกรรมประจำ

ในงานวิจัยนี้ ผู้เขียนได้รับความอนุเคราะห์จาก ผู้ช่วยศาสตราจารย์ ดร. วิจิตร เสิงหะพันธุ์ อาจารย์ที่ปรึกษาชั้นได้กຽนาให้คำแนะนำและแนวคิดในการวิจัยตลอด การแก้ปัญหาที่เกิดขึ้น ผู้เขียนขอขอบพระคุณอย่างสูงไว้ ณ ที่นี่

ในงานวิจัยนี้ ผู้เขียนได้รับความกรุณาจาก ผู้ช่วยศาสตราจารย์ ดร. พิทักษ์ วิจิตรเกณ์ ให้ช่องปฏิบัติการและให้คำแนะนำ ตลอดจนให้ยืมหนังสือ และ ผู้ช่วยศาสตราจารย์ ลิขิต ฉัตรสกุล และ ผู้ช่วยศาสตราจารย์ ดร. กิยโย มัณยวารุณ ที่ให้ยืม เครื่องมือประกอบการทำงานวิจัย และ ผู้ช่วยศาสตราจารย์ ดร. พัฒนา ภะนันท์ ที่ ให้คำแนะนำในการเขียนวิทยานิพนธ์ และอาจารย์กิริณี รักนธรรมพันธ์ ที่ให้ยืมหนังสือเพื่อประกอบการเขียนวิทยานิพนธ์ ซึ่งผู้เขียนขอขอบพระคุณอย่างสูง และขอขอบคุณ คุณวิจิตร ศรีควรเรือง คุณไอลี ปีสุนทอง คุณมนูญลือ ภูด้วง ที่ให้ช่วยเหลือในการสร้าง เกริองอบแห้ง และคุณสถาพร อัชชสมบูรณ์ ที่ให้ช่วยเหลือในการประกอบเหล็กذاก

สารบัญ

หน้า

บทคัดย่อภาษาไทย	๔
บทคัดย่อภาษาอังกฤษ	๕
กิจกรรมประการ	๖
รายการตารางประกอบ	๗
รายการรูปประกอบ	๘
บทที่	
1 บทนำ	1
1.1 ประเทชของ เครื่องฉบับแหงแสงอาทิตย์	2
1.1.1 เครื่องฉบับแหงโภคกรง	2
1.1.2 เครื่องฉบับแหงโภคอม	2
1.1.3 เครื่องฉบับแหงแบบสม	2
1.2 รัฐดุประสังค์ของ การวิจัย	3
1.3 วิธีกำเนิดการวิจัย	3
2 พลังชีวะของอาทิตย์	4
2.1 คุณอาทิตย์	4
2.2 ความทึ่งคุณอาทิตย์	4
2.3 สเปคตรัมของแสงอาทิตย์นอกบรรยากาศโลก	4
2.4 แสงอาทิตย์ที่พื้นผิวโลก	6
3 ตัวรับแสงชนิดแผ่นร้าน	9
3.1 แผ่นรับแสง	11
3.2 แผ่นปิกไปร์ส	13
3.3 ฉนวนกันความร้อน	18



บทที่		หน้า
4	กลไกของการแห้ง	21
4.1	เงื่อนไขภายในและภายนอกของการแห้ง	22
4.1.1	กลไกภายในของการไหลของของเหลว	22
4.1.2	ตัวแปรภายนอก	22
4.2	ช่วงเวลาของการแห้ง	22
4.2.1	ช่วงเวลาที่อัตราการแห้งคงที่	26
4.2.2	ช่วงเวลาที่อัตราการแห้งลดลง	29
5	การสร้างและทดลองใช้เครื่องอบแห้ง	32
5.1	การสร้างและหลักการทำงานของเครื่องอบแห้งแบบที่ 1 ..	32
5.2	การอบกลวยนำ้ำในเครื่องอบแห้งแบบที่ 1	32
5.3	การหาประสิทธิภาพของ เครื่องอบแห้ง	36
5.4	การปรับปรุง เครื่องอบแห้งแบบที่ 1 ให้เป็นแบบที่ 2 และ ^{ผลการทดลอง}	43
5.5	การสร้าง เครื่องอบแห้งแบบที่ 3	43
5.6	หลักการทำงานของ เครื่องอบแห้งแบบที่ 3	53
5.7	ผลการอบผลิตภัณฑ์ใน เครื่องอบแห้งแบบที่ 3	53
6	สรุปและวิชาการ	80
6.1	ผลของการอบกลวยใน เครื่องอบแห้งแบบที่ 1 และแบบที่ 2 ..	80
6.2	ผลของการอบผลิตภัณฑ์ใน เครื่องอบแห้งแบบที่ 3	81
6.3	ผลของการศึกษาวิธีรักษาความชื้นของอากาศใน เครื่องอบแห้งแบบที่ 3	83
6.4	การแห้งของกลวยที่อุณหภูมิกึ่งที่	85
	เอกสารอ้างอิง	99
	ประวัติ	101

รายการการงานประจำปี

ตารางที่

หน้า

- | | | |
|---|--|----|
| 1 | แสดงสัมประสิทธิ์การส่งผ่านความร้อนโดยการนำและอัตราการ
แพร่ในช่วงเวลาที่อัตราการแพร่คงที่..... | 28 |
|---|--|----|

รายการรูปประกอบ

รูปที่	หน้า
2.1 แสดงรังสีสเปกตรัมมาตรฐานของนาชาที่ระยะทาง เนลี่ยของโลก- กลางอาทิตย์	5
2.2 แสดงการแปรEDAของรังสีอกบธรรยากาศโลกในเวลา 1 ปี.....	5
2.3 แสดงปฏิกริยาของแสงอาทิตย์กับธรรยากาศ.....	7
2.4 แสดงการแจกแจงสเปกตรัมของแสงอาทิตย์อกบธรรยากาศโลกและ ที่ฟื้นโลก เปรีบัน เทียนกับแสงที่ออกจากรัศมีกว่าที่อุณหภูมิ 6,000 องศา เคลวิน	7
3.1 แสดงคัวรับแสงแบบที่นิรุตต์ 2 ชนิด คือ ชนิดแผนราบและชนิดรวมแสง 10	
3.2 แสดงคัวรับแสงชนิดแผนราบแบบหัวไป.....	10
3.3 แสดงสเปกตรัมของแสงอาทิตย์และของดาวรุ่นแสงที่มีอุณหภูมิ 100 องศา เชล เบียส	12
3.4 แสดงการสะท้อนของบิชไนค์ต่าง ๆ	12
3.5 แสดงความสัมพันธ์ระหว่างการส่งผ่านและจำนวนแผนกรอบที่มี กรวยนีหักเห 1.51	14
3.6 กราฟแสดงความสัมพันธ์ระหว่างการส่งผ่านและมุมทกกรอบของ รังสีเมื่อมีกรวย 1, 2 และ 3 แผน	14
3.7 กราฟแสดงการส่งผ่านรังสีของกรวยที่ประกอบด้วย Fe_2O_3 0.035 เปอร์เซนต์	16
3.8 กราฟแสดงการส่งผ่านรังสีของกรวยที่ประกอบด้วย Fe_2O_3 0.10 เปอร์เซนต์	16
3.9 กราฟแสดงการส่งผ่านรังสีของกรวยที่ประกอบด้วย Fe_2O_3 0.15 เปอร์เซนต์	17
3.10 กราฟแสดงการส่งผ่านรังสีของกรวยที่ประกอบด้วย Fe_2O_3 0.48 เปอร์เซนต์	17
3.11 กราฟแสดงการส่งผ่านรังสีอินฟราเรดของกรวยที่ประกอบด้วย สูญเสียเนื่องจากการสะท้อนแล้ว	19

รูปที่	หน้า
3.12 กราฟแสดงการส่งผ่านรังสีอินฟราเรดของโพลีไพรีลีน, เทคสาร์, ไมลาร์และแคปตัน แต่ละกราฟคิดการสูญเสียเนื่องจากการสีหอน แล้ว	20
4.1 กราฟระหว่าง เปอร์เซนต์ความชื้นที่ใช้ของ เปียก เป็นพื้นฐานและที่ ใช้ของแห้ง เป็นพื้นฐาน	24
4.2 กราฟระหว่างความชื้น (dry basis) กับเวลา	25
4.3 กราฟระหว่างอัตราการแห้งกับความชื้น (dry basis)	25
4.4 กราฟระหว่างอัตราการแห้งกับเวลา	25
4.5 กราฟแสดงอัตราการแห้งของทรัพย์เปียก 1 ถูก	31
4.6 กราฟแสดงอัตราการแห้งของมันฝรั่ง 1 แผ่น ซึ่งห้ามแห้งที่อุณหภูมิ 60 องศา เช็ด เชือด	31
5.1 ก. รูปแบบของ เครื่องอบแห้งแบบที่ 1	33
ช. รูปคานแขงของ เครื่องอบแห้งแบบที่ 1	33
5.2 – 5.3 กราฟแสดงการแห้งของกลวยใน เครื่องอบแห้งแบบที่ 1 เทียบกับการภาคชั้นรวมด้านนอกเครื่องอบ	37 – 38
5.4 – 5.6 กราฟแสดงอุณหภูมิ ณ ตำแหน่งกลาง ๆ ภายในและภายนอก เครื่องอบแห้งแบบที่ 1	39 – 41
5.7 กราฟแสดงความสัมพันธ์ระหว่างความร้อนของการกลây เป็นไป ของน้ำกับอุณหภูมิ	42
5.8 ก. รูปแบบของ เครื่องอบแห้งแบบที่ 2	44
ช. รูปคานแขงของ เครื่องอบแห้งแบบที่ 2	44
5.9 – 5.10 กราฟแสดงการแห้งของกลวยใน เครื่องอบแห้งแบบที่ 2 เทียบกับการภาคชั้นรวมด้านนอกเครื่องอบ	45 – 46
5.11 – 5.14 กราฟแสดงอุณหภูมิ ณ ตำแหน่งกลาง ๆ ภายในและ ภายนอกเครื่องอบแห้งแบบที่ 2	47 – 49
5.15 รูปแบบของ เครื่องอบแห้งแบบที่ 3	51

๙๖

๙

5.16	ก. รูปคานข้างของเครื่องอบแห้งแบบที่ 3.....	52
	ช. รูปคานตัดข้างของเครื่องอบแห้งแบบที่ 3	52
5.17-5.21	กราฟแสดงการแห้งของกลวยในเครื่องอบแห้งแบบที่ 3 เทียบกับ การทำกิ่รรมคานอกเครื่องอบ.....	54-58
5.22-5.25	กราฟแสดงอุณหภูมิ ณ ตำแหน่งต่าง ๆ ภายในเครื่องอบแห้ง แบบที่ 3 (ขณะอบกลวย) และภายนอกเครื่องอบ.....	59-62
5.26-5.27	กราฟแสดงการแห้งของถั่วลิสงในเครื่องอบแห้งแบบที่ 3 เทียบกับการทำกิ่รรมคานอกเครื่องอบ.....	64
5.28-5.30	กราฟแสดงอุณหภูมิ ณ ตำแหน่งต่าง ๆ ภายในเครื่องอบแห้ง แบบที่ 3 (ขณะอบถั่ว) และภายนอกเครื่องอบ.....	65-67
5.31	กราฟแสดงความสัมพันธ์ระหว่างประสิทธิภาพของเครื่องอบแห้งแบบที่ 3 กับน้ำหนักกลวยต่อพื้นที่แผ่นรับแสง.....	68
5.32-5.42	กราฟแสดงอัตราการแห้งของกลวยในเครื่องอบแห้งแบบที่ 3...69-79	
6.1	แสดงเครื่องมือแบบที่ 1 ซึ่งใช้อบกลวยที่อุณหภูมิกึ่งที่ 50 และ 70 องศาเซลเซียส.....	85
6.2	กราฟแสดงการแห้งของกลวยที่อุณหภูมิกึ่งที่ 50 และ 70 องศาเซลเซียส โดยใช้เครื่องมือแบบที่ 1	87
6.3-6.4	กราฟแสดงอัตราการแห้งของกลวยที่อุณหภูมิกึ่งที่ 50 และ 70 องศาเซลเซียส โดยใช้เครื่องมือแบบที่ 1.....	88-89
6.5	แสดงเครื่องมือแบบที่ 2 ซึ่งใช้อบกลวยที่อุณหภูมิกึ่งที่ 45 และ 60 องศาเซลเซียส.....	90
6.6	กราฟแสดงการแห้งของกลวยที่อุณหภูมิกึ่งที่ 45 และ 60 องศาเซลเซียส โดยใช้เครื่องมือแบบที่ 2	92

รูปที่

หน้า

- 6.7-6.8 กราฟแสดงอัตราการแห้งของกลวับที่อุณหภูมิคงที่ 45 และ 60 องศาเซลเซียสโดยใช้เครื่องมือแบบที่ 2..... 93-94
- 6.9 แสดงเครื่องมือแบบที่ 3 ซึ่งใช้อบกลวับที่อุณหภูมิ 36 ± 2 องศาเซลเซียส โดยไม่มีการไอลของอากาศ..... 95
- 6.10 กราฟแสดงการแห้งของกลวับที่อุณหภูมิ 36 ± 2 องศาเซลเซียส โดยใช้เครื่องมือแบบที่ 3..... 96
- 6.11 กราฟแสดงอัตราการแห้งของกลวับที่อุณหภูมิ 36 ± 2 องศาเซลเซียส โดยใช้เครื่องมือแบบที่ 3..... 97